

# ЭЛЕКТРИЧЕСКИЕ СВОЙСТВА ЭПИТАКСИАЛЬНЫХ СЛОЕВ МАРГАНЕЦ—РТУТЬ—ТЕЛЛУР *p*-ТИПА

Трифонова М. М., Барышев Н. С., Мезенцева М. П.,  
Ахмедова Ф. И., Аверьянов И. С.

Электрические свойства эпитаксиальных слоев марганец—ртуть—теллур (*MPT*) *p*-типа изучались нами в [1]. В данном сообщении приводятся результаты исследования электрических свойств слоев *p*-типа, полученных также методом жидкокристаллической эпитаксии из теллуровых растворов—расплавов на подложках из полированного кварца. Выращенные слои толщиной до 4 мм были моно-кристаллическими, без малоугловых границ, с плотностью дислокаций  $\sim 10^4 \text{ см}^{-2}$ ; концентрация дырок в них была порядка  $10^{17} \text{ см}^{-3}$ , подвижность дырок  $-(2 \pm 5) \cdot 10^2 \text{ см}^2/(\text{В} \cdot \text{с})$  при температуре жидкого азота. С целью снижения концентрации носителей заряда выращенные слои подвергались длительному отжигу в парах ртути. В исследованиях использовались слои с низкими концентрациями дырок в низкотемпературной области, на которых не наблюдалось холловских аномалий. Измерения коэффициента Холла  $R_H$  и электропроводности  $\sigma$  проводились шестизондовым методом на образцах толщиной  $0.8 \pm 1$  мм в интервале температур от комнатной до температуры жидкого гелия.

Температурные зависимости коэффициента Холла и электропроводности для двух образцов  $\text{Mn}_x\text{Hg}_{1-x}\text{Te}$  с составами  $x = 0.08$  и  $0.127$  приведены на рис. 1 (кривые 1, 1' и 2, 2' соответственно). Анализ показал, что температурная зависимость концентрации дырок в области примесной проводимости не может быть объяснена моделью с одним акцепторным уровнем в запрещенной зоне и полностью ионизированными компенсирующими донорами. Для интерпретации полученных экспериментальных данных нами принята модель двух независимых акцепторных уровней в запрещенной зоне *MPT*. Штриховыми кривыми (*ep*)<sup>-1</sup> (*e* — заряд электрона) на рисунке представлены результаты решения уравнений электрической нейтральности для этих образцов при следующих параметрах модели:  $E_{a1} \approx 1.6 \text{ мэВ}$ ,  $N_{a1} = 6 \cdot 10^{15} \text{ см}^{-3}$ ,  $E_{a2} = 2.1 \text{ мэВ}$ ,  $N_{a2} = 3 \cdot 10^{15} \text{ см}^{-3}$ ,  $N_d = 5.8 \cdot 10^{15} \text{ см}^{-3}$  для первого образца,  $E_{a1} \approx 2 \text{ мэВ}$ ,  $N_{a1} = 1.4 \cdot 10^{15} \text{ см}^{-3}$ ,  $E_{a2} = 1.9 \text{ мэВ}$ ,  $N_{a2} = 1.2 \cdot 10^{16} \text{ см}^{-3}$ ,  $N_d = 1.38 \cdot 10^{15} \text{ см}^{-3}$  для второго образца; здесь  $N_a$  и  $N_d$  — концентрации акцепторных и донорных центров. Эффективная масса тяжелых дырок полагалась равной  $0.447 m_0$  ( $m_0$  — масса свободного электрона), как в твердых растворах кадмий—ртуть—теллур (*KPT*) [2], а факторы спинового вырождения для обоих акцепторных уровней — равными 4 из-за структуры валентной зоны материала [3]. Заметим, что мелкие акцепторные уровни неоднократно наблюдались при изучении электрических и гальваномагнитных свойств объемных кристаллов и эпитаксиальных слоев *KPT p*-типа (см., например, [3–6]).

Температурные зависимости подвижности дырок для данных двух слоев представлены на рис. 2. С понижением температуры подвижность  $\mu_p$  возрастает, достигает максимальных значений при температурах  $25 \pm 30 \text{ К}$  и при дальнейшем снижении температуры уменьшается. По аналогии с твердыми растворами *KPT* полагаем, что при высоких температурах дырки рассеиваются в основном на полярных оптических фононах, а при низких температурах — на ионизированных акцепторных и донорных центрах, суммарная концентрация которых равна  $f_{a1}N_{a1} + f_{a2}N_{a2} + N_d$ , где  $f_{a1}$  и  $f_{a2}$  — вероятности заполнения акцепторных уровней 1 и 2. Оценки для твердого раствора *MPT* с  $x = 0.12$  при использовании значений соответствующих параметров [7, 8] показали, что подвижность дырок, обусловленную рассеянием их на полярных оптических фононах в области высоких температур, можно представить приближенно в виде  $\mu_L \approx 10^6 \cdot T^{-1.7} \text{ см}^2/\text{В} \cdot \text{с}$ .

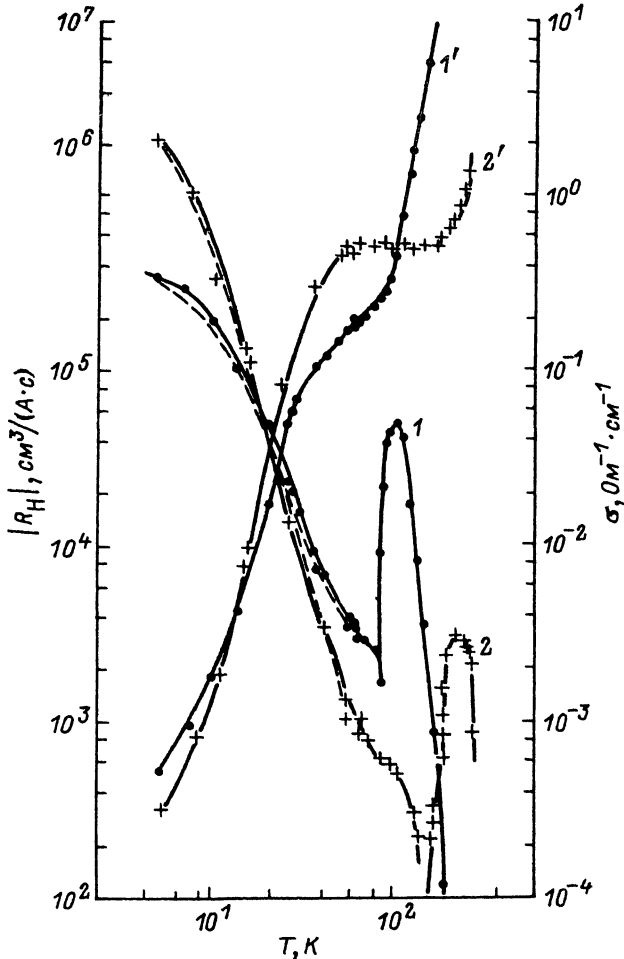


Рис. 1. Температурные зависимости коэффициента Холла ( $1, 2$ ) и электропроводности ( $1', 2'$ ) для эпитаксиальных слоев  $p\text{-Mn}_x\text{Hg}_{1-x}\text{Te}$ .

$x: 1, 1' - 0.08, 2, 2' - 0.127$ ; сплошные кривые — эксперимент, штриховые — расчет.

Вклад в рассеяние дырок от нейтральных акцепторных центров невелик и составляет лишь 1 и 4.5% при 30 К в образцах 1 и 2 соответственно. Результатирующие расчетные подвижности дырок, представленные на рис. 2 штриховыми кривыми, несколько превышают экспериментальные значения. Тем не менее соответствие расчетных и экспериментальных результатов можно считать приемлемым, если учесть, что значения ряда параметров твердых растворов МРТ точно еще не установлены.

Таким образом, показано, что электрические свойства сильно компенсированных эпитаксиальных слоев МРТ  $p$ -типа можно удовлетворительно объяснить на основе модели двух акцепторных уровней, расположенных примерно на 2 и 20 мэВ выше потолка валентной зоны. В области высоких температур дырки рассеиваются в основном на полярных оптических фонарах, а при низких температурах — на ионизированных донорных и акцепторных центрах. Суммарные концентрации акцепторов и доноров в исследованных слоях составляют  $\sim 1.5 \cdot 10^{16} \text{ см}^{-3}$ , т. е. того же порядка, как и в эпитаксиальных слоях МРТ  $n$ -типа [1].

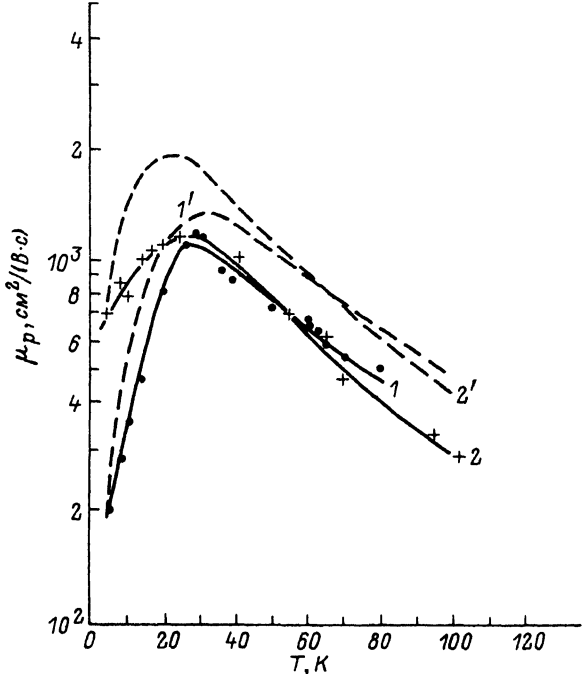


Рис. 2. Температурные зависимости подвижности дырок для эпитаксиальных слоев  $p\text{-Mn}_x\text{Hg}_{1-x}\text{Te}$ .  
x: 1 — 0.08, 2 — 0.127; штриховые кривые 1' и 2' — результаты расчетов.

#### СПИСОК ЛИТЕРАТУРЫ

- [1] Трифонова М. М., Барышев Н. С., Мезенцева М. П. // ФТП. 1991. Т. 25. В. 6. С. 1014—1017.
- [2] Несмелова И. М., Тулвинская З. К., Барышев Н. С. // ЖПС. 1989. Т. 50. В. 3. С. 480—483.
- [3] Finkman E., Nemirovsky Y. // J. Appl. Phys. 1986. V. 59. N 4. P. 1205—1211.
- [4] Elliott C. T., Melngailis I., Harman T. C., Foyt A. G. // J. Phys. Chem. Sol. 1972. V. 33. N 8. P. 1527—1531.
- [5] Елизаров А. И., Богобоящий В. В., Берченко Н. Н. // ФТП. 1990. Т. 24. В. 3. С. 446—450.
- [6] Boukerche M., Sivananthan S., Wijewarnasuriya P. S., Sou I. K., Faurie J. P. // J. Vac. Sci. Techn. A. 1989. V. 7. N 2. P. 311—313.
- [7] Baranskii P. I., Gorodnichii O. P., Shevchenko N. V. // Infr. Phys. 1990. V. 30. N 3. P. 259—263.
- [8] Rogalski A. // Infr. Phys. 1991. V. 31. N 2. P. 117—166.

Государственный институт прикладной оптики  
Казань

Получено 10.12.1991  
Принято к печати 30.01.1992